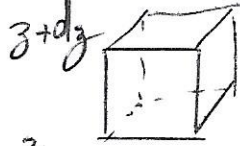


Problem I

1. } Cube d'air } au repos  avec $P_a(z)$ uniquement.

TEN de R_g . $\vec{\sigma} = \rho_a dz dy dz \vec{g} + dz dy (P_a(z)) \vec{u}_z - dz dy (P_a(z+dz)) \vec{u}_z$
 (les autres forces de pression se compensent)

d'air $\rho_a \vec{g} - \frac{dP_a}{dz} \vec{u}_z = 0 \rightarrow \boxed{\vec{\text{grad}} p = \rho_a \vec{g}}$

2. $\boxed{\rho_a = \frac{P_{air} P_a}{RT_a}}$

3. D'après 1) et 2), $\boxed{\frac{dP_a}{dz} = -\frac{P_a P_a g}{RT_a}}$

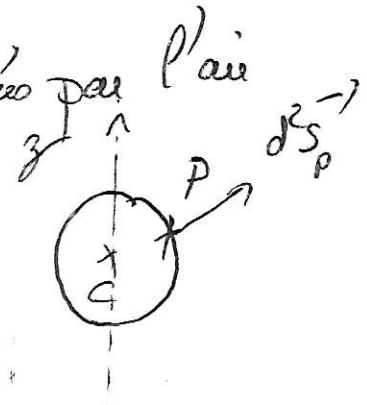
4. D'après 3) $\boxed{P_a(z) = P_{0e} e^{-\frac{\rho_a g z}{P_a}}}$ $\boxed{H = \frac{RT_a}{\rho_a g}}$

$e^{-z/H}$ est le facteur de Boltzmann. Traduit la compétition entre énergie potentielle de pesanteur (micro) mgz et agitation thermique $k_B T$.

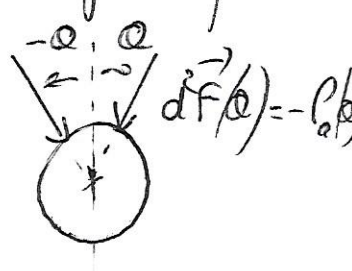
5. AN $\frac{H}{310^2 \times 10} = \frac{8 \times 3 \times 10^2}{310^2 \times 10} \approx 8 \times 10^3 \text{ m.}$

6 $\frac{V(z)}{P_{int}} = \frac{mRT_a}{P_{int}} = \frac{mRT_a}{P_a(z)}$ car $P_{int} = P_a(z)$.

7. La résultante des forces de pressions (extérieures) exercées par l'air sur le ballon est $\vec{F}_\pi = - \oint_{\text{Sphère}} P_{air}(P) d\vec{S}_p$



• Pour 2 pts symétriques par rapport axe (C_3) du ballon repérés par angles θ et $-\theta$, on a $P_a(\theta) = P_a(-\theta)$ $d^2\vec{F}(-\theta) = -d^2\vec{F}(\theta)$



→ la résultante des forces de pression est selon \vec{u}_z

• La pression diminue avec l'altitude → résultante selon $+\vec{u}_z$

8. Démonstration du théorème d'Archimède. On remplace le ballon par volume d'air équivalent d'air on équilibre. La répartition des pressions est supposée inchangée, d'où

$$\vec{F}_{\pi} = - \int_V \rho_a d^3z \vec{g}$$

Si $R \ll H$, on peut supposer $\rho_a \approx$ uniforme sur le volume du ballon

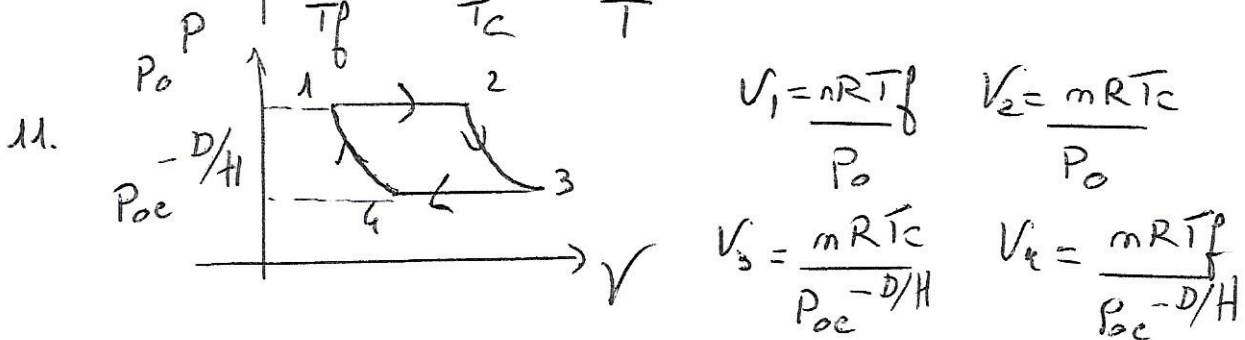
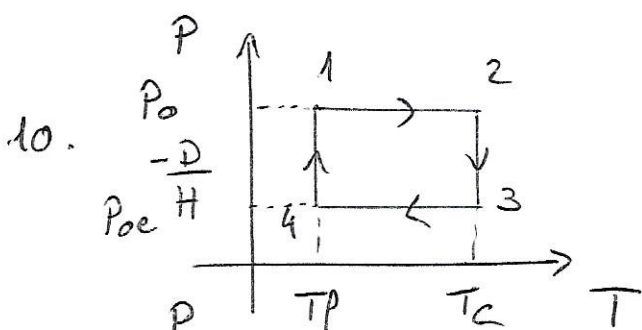
et $\vec{F}_{\pi} \approx -\rho_a V \vec{g}$

9. La résultante des actions mécaniques (ext) sur le {ballon} est

$$\begin{aligned} \vec{F} &= \vec{F}_{\pi} + \vec{P} = m_{\text{He}} \eta_{\text{He}} \vec{g} - \rho_a V \vec{g} \\ &= (\rho_{\text{He}} - \rho_a) V \vec{g} = \left(\frac{\eta_{\text{He}}}{T_c} - \frac{\eta_{\text{air}}}{T_a} \right) \frac{\rho_a(z) V(z)}{R} \vec{g} \end{aligned}$$

Nomériquement $\frac{\eta_{\text{He}}}{T_c} < \frac{\eta_{\text{air}}}{T_a}$. On a bien $\vec{F} \cdot \vec{u}_z > 0$ force motrice

par rapport montée.



12. Travail non nul pendant transformations $2 \rightarrow 3$ et $4 \rightarrow 1$.
Force conservative \rightarrow travail nul sur un tour.

13. Travail non nul pendant transformations $2 \rightarrow 3$ et $4 \rightarrow 1$

$$\vec{F}_\pi = -\rho(z)V(z)\vec{g} \quad \text{avec} \quad \rho_a = \frac{M_{air}P_a(z)}{RT_a} \quad \text{et} \quad V = \frac{nRT_c}{P_a(z)} \quad (\text{transf } 2 \rightarrow 3)$$

$$\text{d'au} \quad \boxed{\vec{F}_{\pi_{2 \rightarrow 3}} = -\pi_{air} m \frac{T_c}{T_a} \vec{g} = -\pi_{air} m \frac{2T_c}{T_c + T_f} \vec{g}}$$

$$\text{et} \quad \boxed{W_{\pi_{2 \rightarrow 3}} = D \pi_{air} m \frac{2T_c}{T_c + T_f} g} > 0$$

$$\text{Calcul similaire} \quad \vec{F}_{\pi_{4 \rightarrow 1}} = -M_{air} m \frac{2T_f}{T_c + T_f} \vec{g} \quad \text{et} \quad W_{\pi_{4 \rightarrow 1}} = -D \pi_{air} \frac{2mT_f}{T_c + T_f}$$

$$\text{d'au} \quad \boxed{W_{\pi} = D M_{air} 2m \frac{T_c - T_f}{T_c + T_f} g}$$

$$\text{AN} \quad \frac{W_{\pi}}{\pi} = \frac{2 \times 3 \cdot 10^{-2} \times 1 \times 40 \times 10}{300} \approx 8 \cdot 10^{-2} \text{ J} \quad \text{c'est peu!}$$

(Il faudrait beaucoup de ballons)

14.

$$W'_{P_{1 \rightarrow 2}} = - \int_1^2 P_{ext} dV = - P_0 [V_2 - V_1] = - nR (T_c - T_f)$$

$$W'_{P_{2 \rightarrow 3}} = - \int_2^3 P dV = - \int_2^3 m R T_c \frac{dV}{V} = - n R T_c \ln \left(\frac{V_3}{V_2} \right) = - n R T_c \frac{D}{H}$$

$$W'_{P_{3 \rightarrow 4}} = - P_0 e^{-D/H} (V_4 - V_3) = m R (T_c - T_f)$$

$$W'_{P_{4 \rightarrow 1}} = - n R T_f \ln \left(\frac{V_1}{V_4} \right) = m R T_f \frac{D}{H}$$

$$\boxed{W'_P = m R (T_f - T_c) \frac{D}{H}} \quad \text{Rq } W'_P = -W'_\pi \quad \text{car } H = \frac{\rho_{air} T_c}{\rho_{air} g}$$

15. W'_{utile} correspond à celui de la puissance d'Archimède ($N \times W'_\pi$)
où N nombre de ballons.

Couplez arbre avec alternateur (ou fel et poulié!)

16. Transformation 1-2 isobare donc $Q_{1 \rightarrow 2} = \Delta H_{1 \rightarrow 2} = m C_p (T_c - T_f)$

D'aut $\boxed{Q_{4 \rightarrow 2} = m M_e C_p (T_c - T_f)}$

17. $\boxed{\eta = \frac{W'_\pi}{Q_{12}} = \frac{D \rho_{air} g^2}{M_{He} C_p (T_c + T_f)}}$

AN $\eta = \frac{2 \times 30 \times 10}{4} \times \frac{1}{3 \times 10^3 \times 300} \approx 2 \times 10^{-4}$ c'est très (trop!) petit!

18. D'un point de vue théorique, on peut augmenter η en augmentant D , mais encore faut-il que l'approximation $D \ll H$ reste valable
par rapport à l'évaluation $\frac{D}{H}$ ---

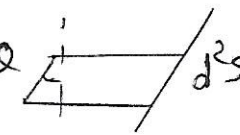
Problème II Pincés optiques.

19. Gérard Mourou a obtenu le prix Nobel de physique en 2018 pour ses travaux portant sur la production d'impulsions lumineuses ultra-brèves de forte intensité (physique des lasers.)

20. $E = h\nu \equiv$ relation de Planck - Einstein

$$p = \frac{h\nu}{c} \equiv \text{relation de de Broglie} \quad \left(\hbar k = \frac{hc}{\lambda} \right)$$

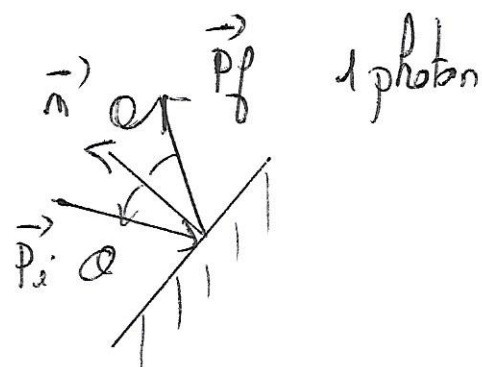
21. Le nombre d^3N correspond aux photons situés dans le cylindre de longueur $c_0 dt$, de surface d^2S , donc de volume $c_0 \cos\theta d^2S dt$

donc $d^3N = m c_0 \cos\theta d^2S dt$ $m \equiv$ nbc photons / unite' de volume. 

Pour déterminer m , on a $P_0 dt = m \nu c_0 h \nu dt \rightarrow m = \frac{P_0}{\nu c_0 h \nu}$

$$\text{d'au} \quad \boxed{d^3N = \frac{P_0}{\nu h \nu} \cos\theta d^2S dt}$$

$$\begin{aligned} \text{On a } d^3\vec{p} &= d^3N (\vec{p}_p - \vec{p}_i) \\ &= d^3N \frac{2h\nu \cos\theta}{c} \vec{m} \end{aligned}$$



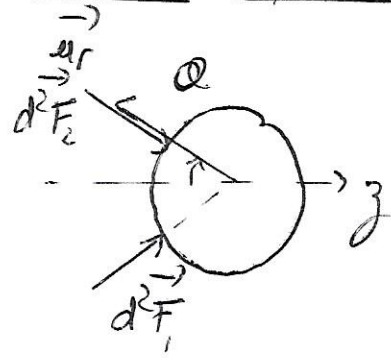
$$\text{D'au} \quad \boxed{d^3\vec{p} = \frac{d^2S}{\nu} \frac{2P_0 \cos^2\theta}{c} \vec{m} dt} \quad \begin{array}{l} \cdot \text{selon } + \vec{m} \\ \cdot \text{module } \frac{2P_0 \cos^2\theta d^2S dt}{\nu} \end{array}$$

22. TAN { photons } $\frac{d^3 \vec{p}}{dt} = d^2 \vec{F}$
 miroir \rightarrow photons $= - d^2 \vec{F}$
 photons \rightarrow miroir

D'au $\boxed{d^2 \vec{F}_{\text{photons} \rightarrow \text{miroir}} = - \frac{2 P_0 \cos^2 \theta d^2 S \vec{m}}{c}}$ $\propto - d^2 S \vec{m} = \underline{\text{force pression}}$

23. $\boxed{\|\vec{F}\| = \frac{m_0 2 P_0}{c}}$ AN $\|\vec{F}\| = \frac{2 \times 20 \times 10^{-3} \times 1,3}{3 \times 10^8} \approx \frac{2 \times 10^{-10} \text{ N}}{3 \times 10^8}$ petit!

24. d'après 22, $d^2 \vec{F} = - \frac{2 P_0 \cos^2 \theta}{c} \vec{u}_r b^2 \sin \theta d\theta d\varphi$



En 2 pb symétriques / au (Oz) , même pression

\rightarrow Résultante selon \vec{u}_z $\frac{\pi}{2} 2\pi$ (avec $\vec{u}_z \cdot \vec{u}_r = -\cos \theta$)

D'au $\vec{F} = F_z \vec{u}_z$ avec $F_z = \int \int \frac{2 P_0 \cos^3 \theta \sin \theta b^2 d\theta d\varphi}{c}$
 $\theta=0 \quad \varphi=0$
 $= \left[-\frac{1}{4} \cos^4 \theta \right]_0^{\pi/2} \times 2\pi \times \frac{2 P_0 b^2}{c}$

D'au $\boxed{F_z = \frac{\pi b^2 m_0 P_0}{c}}$

25. AN $F_z = \frac{3\lambda (2 \times 10^{-6})^2 \times 1,3}{3 \times 10^8} \times \frac{20 \times 10^{-3}}{3 \times 10^{-10}} = \frac{4 \times 10^{-12} \times 3 \times 10^2}{3 \times 10^{-2}} \approx 4 \times 10^{-12} \text{ N}$
 très petit!

26. TAN { bille } R_g .

La poussée d'Archimède compense le poids, d'au

$m \frac{d\vec{v}}{dt} = - 6\pi \eta b \vec{v} + \vec{F}$

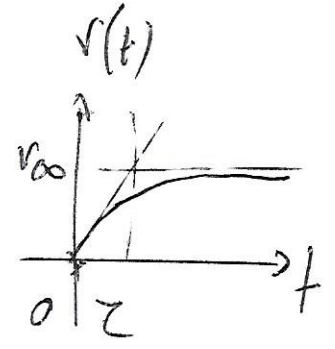
Projection selon \vec{u}_z $m \frac{dv}{dt} = -\sigma \pi \gamma b r + \frac{\pi b^2 m_0 \rho}{\sqrt{e}}$

D'aut $v = v_{\infty} + A e^{-t/\tau}$ avec CI $v(0) = 0$

$$v(t) = v_{\infty} \left[1 - e^{-t/\tau} \right]$$

$$\tau = \frac{m}{\sigma \pi \gamma b} = \frac{2b^2 \rho}{g \gamma}$$

$$v_{\infty} = \frac{b m_0 \rho}{\sigma \gamma \sqrt{e}}$$



$v(t_1) = 0,9 v_{\infty} \Leftrightarrow v_{\infty} [1 - e^{-t_1/\tau}] = 0,9 v_{\infty}$

$$t_1 = \tau \ln(10) \approx 2,3 \tau$$

AN $v_{\infty} \approx 10^{-4} \text{ m.s}^{-1}$ (faible)

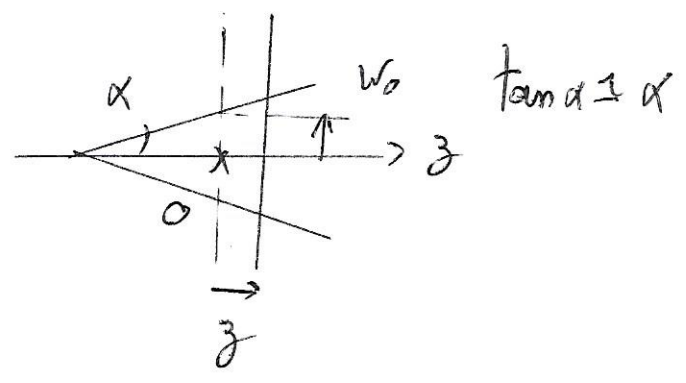
$t_1 \approx 2 \mu\text{s}$

27. $F_z = F_{\text{gauche}} + F_{\text{droite}} = \frac{\pi b^2 m_0 \rho}{\sqrt{e}} \left[\frac{1}{\sqrt{e}(z)} - \frac{1}{\sqrt{e}(z)} \right]$

Pour $z=0$, $F_z(z=0) = 0$ On a bien position d'équilibre
 $z > 0$ $\sqrt{e}(z) > \sqrt{e}(z) \rightarrow F_z < 0$ assure la stabilité de l'équilibre
 (et réciproquement pour $z < 0$)

$$\sqrt{e}(z) = \pi w_0^2 \left[1 + \frac{z}{w_0} \tan \alpha \right]^2$$

$$\sqrt{e}(z) = \pi w_0^2 \left[1 - \frac{z}{w_0} \tan \alpha \right]^2$$



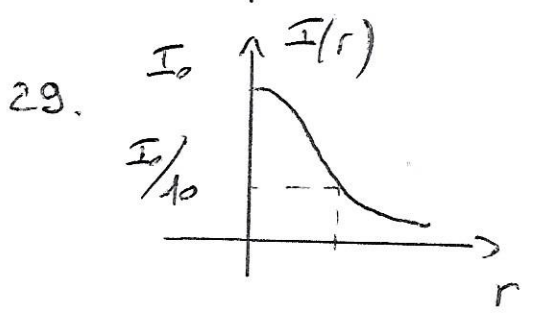
D'aut $F_z = \frac{\pi b^2 m_0 \rho}{e} \frac{1}{\pi w_0^2} \left[\left(1 + \frac{z}{w_0} \alpha \right)^{-2} - \left(1 - \frac{z}{w_0} \alpha \right)^{-2} \right]$ avec $\frac{\alpha z}{w_0} \ll 1$

D'autre $F_z = \frac{\pi b^2 m_0 P_0}{c} \frac{1}{\pi w_0^2} \left[-\frac{4z\alpha}{w_0} \right] = -\frac{4\alpha}{w_0^3 c} b^2 m_0 P_0 z$

On a bien $F_z = -K_z z$ avec $K_z = \frac{4\alpha b^2 m_0 P_0}{w_0^3 c}$

28. AN $K_z = \frac{4 \times 2 \times 10^{-2} \times (2 \times 10^{-6})^2 \times 1,3 \times 20 \times 10^{-3}}{10^{-15} \times 3 \times 10^8} = \frac{8 \times 10^{-4} \times 4 \times 10^{-12} \times 260}{10^{-7}} \approx 10^{-8} \text{ N.m}^{-1}$

$w_0 = \sqrt{\frac{b_0}{\pi}} = \sqrt{\frac{3 \times 10^{-3}}{\pi}} \approx 10^{-5} \text{ m}$ l'ordre grandeur que ADON



$I(r) = \frac{I_{max}}{10} \Leftrightarrow \exp\left(-\frac{r}{w_0}\right)^2 = \frac{1}{10}$

Donc $r = \sqrt{\ln 10} \times w_0 \approx \sqrt{2} w_0$

30. Phénomène de diffraction

La divergence angulaire pour un trou de rayon w_0 serait en effet $\alpha \approx \frac{1,22 \lambda}{2w_0}$ (Tout se passe comme si le faisceau laser diffractait sur son propre bord)

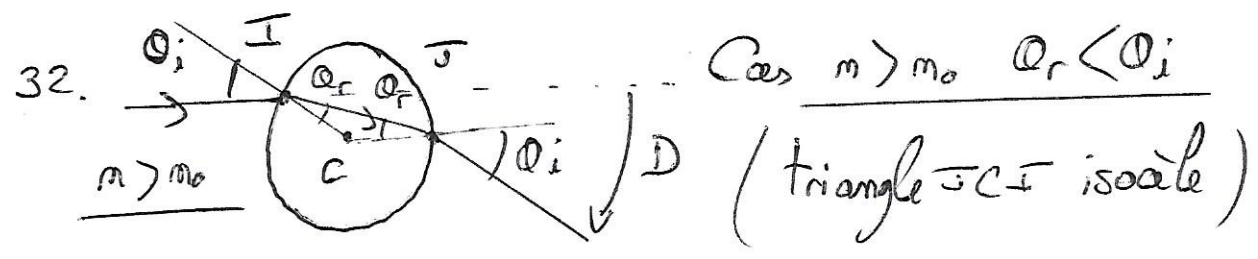
AN $\lambda = \frac{\alpha w_0}{0,5} \approx \frac{0,27}{0,5} \times 10^{-5} \approx 5 \times 10^{-2} \text{ mm}$ (vert.) visible

On a bien $\lambda \ll w_0$ - On a $\lambda \approx \frac{2b}{8}$ on peu limite/optique géométrique -

31. Si la bille est centrée sur axe (O_3), $F_x = 0$ d'après 21.

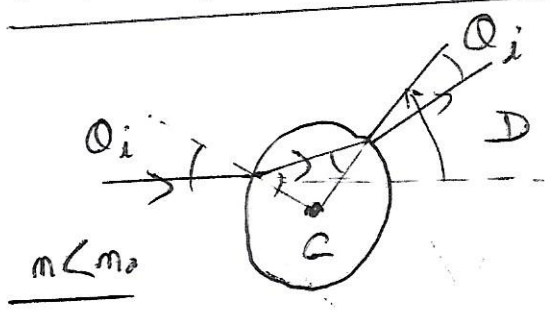
Si la bille s'écarte (par exemple $x > 0$), il y a moins de photons frappant sur la partie supérieure de la bille que sur la partie inférieure, donc $\Delta p_x \text{ tot} < 0$ d'après 21 et $F_x \text{ photons} \rightarrow \text{bille} > 0$

On a donc un effet déstabilisant



$D = (\theta_i - \theta_r) + (\theta_i - \theta_r) = 2(\theta_i - \theta_r) > 0$ $\Delta p_x > 0$ stabilisant

Cas $m < m_0$ $\theta_r > \theta_i$ $D < 0$ On est ramené $\Delta p_x < 0$
donc effet déstabilisant



33. k_x est à nouveau un coefficient de raideur élastique, mais la force n'est plus proportionnelle au déplacement x , à cause de la répartition énergétique du faisceau laser.

34 { bille } à l'équilibre - T.P.1. \vec{u}_z

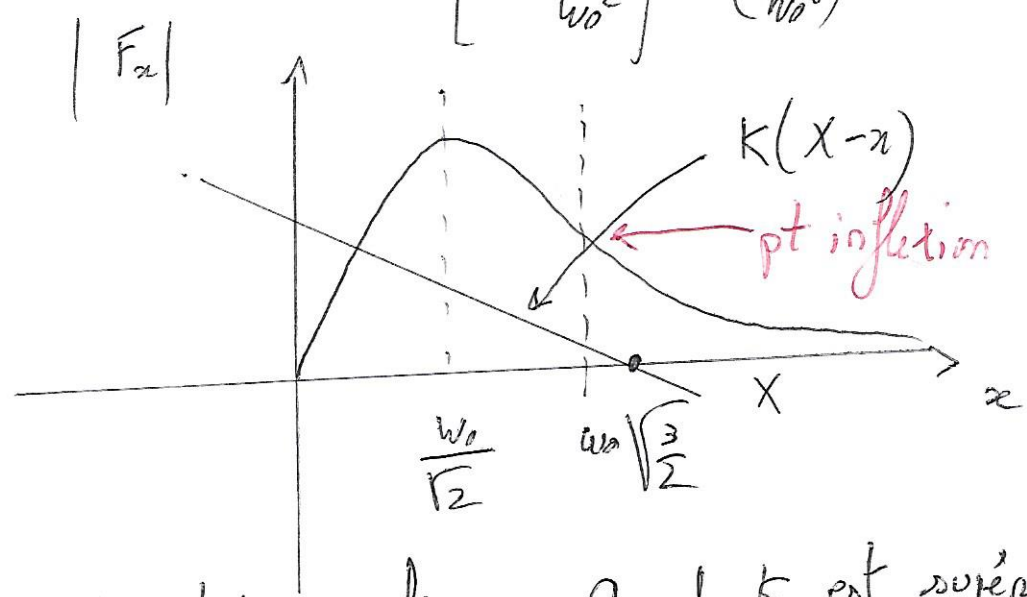
$$0 = F_x + k(X-x) \quad (x \leq X \text{ nécessairement})$$

Donc $K_x x \exp(-\frac{x^2}{w_0^2}) = k(X-x)$ donc eq dans partie $x \geq 0$

On trace l'intensité de $K_x x \exp(-\frac{x^2}{w_0^2})$ et de $k(X-x)$

La fonction $f(x) = K_x x \exp(-\frac{x^2}{w_0^2})$ présente un maximum pour

$$f'(x) = K_x \left[1 - \frac{2x^2}{w_0^2} \right] \exp(-\frac{x^2}{w_0^2}) = 0 \rightarrow x = \frac{w_0}{\sqrt{2}} \quad (x \geq 0)$$



35. Etude graphique - Quand K est supérieur à la valeur absolue de la pente de la tangente au pt d'inflexion de $K_x x \exp(-\frac{x^2}{w_0^2})$, il ne peut y avoir qu'une position d'équilibre

Le point d'inflexion est obtenu pour $\frac{d^2f}{dx^2} = 0$

$$\frac{d^2 \phi}{dx^2} = -k_x \exp\left(-\frac{x^2}{\omega_0^2}\right) \left[\frac{-4x}{\omega_0^2} - \frac{2x}{\omega_0^2} \left(1 - \frac{2x^2}{\omega_0^2}\right) \right]$$

$$= \frac{k_x}{\omega_0^2} \exp\left(-\frac{x^2}{\omega_0^2}\right) \left[-6x + \frac{4x^3}{\omega_0^2} \right] \text{ d'annule } x = \sqrt{\frac{3}{2}} \omega_0$$

En ce pt la pente vaut

$$k_x \left[1 - 2x \frac{3}{2} \right] \exp\left(-\frac{3}{2}\right) = -2k_x \exp\left(-\frac{3}{2}\right)$$

→ Pour $K \geq 0,4k_x$ 1 seule position d'équilibre.

AV $k_x = \frac{95 \times 1,3 \times 10^{-3} (2 \times 10^{-6})^3}{3 \times 10^8 \times (10^{-5})^4}$
 $\approx \frac{4 \times 10^{-2} \times 10^{-18}}{10^8 \times 10^{-20}} \approx 4 \times 10^{-8} \text{ N.m}^{-1}$

$0,4k_x \approx 2 \times 10^{-8} \text{ N}$ → $K < 0,4k_x$ multistable